
Improvement of the resilience of distribution networks by the construction of tie lines: An innovative method based on iteration and graph theory

Hossein Lotfi¹, Postdoctoral Researcher, Rahim Ildarabadi^{2*}, Assistant Professor, Mohammad Ebrahim Hajiabadi³, Associate Professor

1-Department of Electrical and Computer Engineering, Hakim Sabzevari University, Sabzevar, Iran
Hossein_lotfi95@yahoo.com

2- Department of Electrical and Computer Engineering, Hakim Sabzevari University, Sabzevar, Iran
R.ildar@hsu.ac.ir

3- Department of Electrical and Computer Engineering, Hakim Sabzevari University, Sabzevar, Iran
Me.hajiabadi@hsu.ac.ir

Abstract:

Adverse weather conditions and natural disasters always inflict extensive losses and outages in distribution networks while the number and severity of these incidents have often been on the rise in recent years. Therefore, evaluating the resilience of the network and its reversibility in the face of adverse weather conditions and reducing the permeability of the electricity distribution network exposed to natural disasters should be among the planning priorities for the design and optimal operation of these networks. This study aims to construct new tie lines between the healthy part and the damaged parts of a network in the event of a possible accident to quickly restore service to the parts that have lost electricity. The paper presents an innovative iteration-based method that uses graph theory to optimize the total objective function, including the cost of constructing tie lines, the cost of reliability, and the cost of resilience. The proposed method was applied to a part of the RBTS test system, and the effect of constructing new tie lines was investigated on the resilience and reliability indicators of the network according to the cost of their construction.

Keywords: Distribution network, resilience, reliability, iteration-based algorithm, energy not supplied

Submit date: 2022/08/27
Accepted date: 2023/04/24

Corresponding author's name: Rahim Ildarabadi

Corresponding author's address: Department of Electrical and Computer Engineering, Hakim Sabzevari University, Sabzevar, Iran

افزایش تاب‌آوری شبکه‌های توزیع بر اساس احداث خطوط تای لاین با استفاده از یک روش ابتکاری مبتنی بر تکرار و نظریه گراف

نوع مطالعه: پژوهشی

حسین لطفی^۱، محقق پسا دکتری مهندسی برق، رحیم ایلدرآبادی^{۱*}، استادیار گروه مهندسی برق و محمد ابراهیم حاجی آبادی^۱، دانشیار گروه مهندسی برق

۱- دانشکده مهندسی برق و کامپیوتر، دانشگاه حکیم سبزواری - سبزوار- ایران
Hossein_lotfi95@yahoo.com, R.ildar@hsu.ac.ir, Me.hajjabadi@hsu.ac.ir

چکیده:

وقوع شرایط نامساعد جوی و بلایای طبیعی همواره منجر به تحمیل خسارات و قطعی‌های گسترده در سطح شبکه‌های توزیع می‌شود، که تعداد و شدت این حوادث در سال‌های اخیر اغلب رو به افزایش بوده است. بنابراین ارزیابی تاب‌آوری شبکه و قابلیت برگشت پذیری آن در مواجهه با شرایط نامساعد جوی، کاهش نفوذپذیری شبکه توزیع برق در مواجهه با بلایای طبیعی باید از اولویت‌های برنامه‌ریزی برای طراحی و بهره‌برداری بهینه از شبکه توزیع باشد. ایده این مقاله، احداث خطوط تای لاین جدید بین بخش سالم شبکه و سایر بخش‌های آسیب‌دیده شبکه در صورت بروز حادثه احتمالی به منظور بازگرداندن سریع سرویس به بخش‌های فاقد برق شبکه است. در این مقاله، روش ابتکاری مبتنی بر تکرار با استفاده از نظریه گراف برای بهینه‌سازی تابع هدف کل، از جمله هزینه احداث خطوط تای لاین، هزینه قابلیت اطمینان و هزینه تاب‌آوری ارائه شده است. روش پیشنهادی بر روی بخشی از سیستم تست RBTS اعمال شده و در نهایت اثر احداث خطوط تای لاین جدید بر شاخص‌های تاب‌آوری و قابلیت اطمینان شبکه با توجه به هزینه احداث این خطوط بررسی شده است.

واژه‌های کلیدی: شبکه توزیع، تاب‌آوری، قابلیت اطمینان، الگوریتم مبتنی بر تکرار، انرژی توزیع نشده

تاریخ ارسال مقاله: ۱۴۰۱/۰۶/۰۵

تاریخ پذیرش مقاله: ۱۴۰۲/۰۲/۰۴

نام نویسنده‌ی مسئول: رحیم ایلدرآبادی

نشانی نویسنده‌ی مسئول: دانشکده مهندسی برق و کامپیوتر، دانشگاه حکیم سبزواری - سبزوار- ایران

۱- مقدمه

شرایط نامساعد جوی و بلایای طبیعی همواره منجر به خسارات مالی هنگفتی به صنایع، اقتصاد و خاموشی‌های گسترده در سطح شبکه توزیع شده است. به عنوان مثال، طوفان سندی در سال ۲۰۱۲ باعث قطعی برق بیش از ۵/۷ میلیون مشترک در ۱۵ ایالت از جمله واشینگتن دی‌سی شد (Campbell & Lowry, 2012). در سال‌های ۲۰۱۰ و ۲۰۱۱، سیل شدید در استرالیا باعث آسیب به چندین تیر برق، ترانسفورماتور و کابل‌های هوایی شد. این حادثه باعث قطعی برق بیش از ۱۵۰ هزار مشترک گردید (Khodaei, 2014). در سال ۲۰۰۸، کولاک شدید در چین باعث خرابی در ۲۰۰۰ پست توزیع برق و منجر به قطعی برق در ۱۳ استان این کشور گردید (Panteli & Mancarella, 2015a). همچنین پیش‌بینی می‌شود تعداد خاموشی‌های ناشی از شرایط جوی در سال‌های آینده روند افزایشی داشته باشد (Lorca & Sun, 2014). از این رو، مقاوم‌سازی شبکه‌های توزیع اهمیت بیشتری پیدا می‌کند. با توجه به اینکه هدف اصلی شرکت‌های برق تامین انرژی مطمئن برای مشترکین است، ارائه معیارهایی برای ارزیابی شبکه‌های توزیع در تامین مداوم این انرژی برای مشترکین از اهمیت زیادی برخوردار است. ارزیابی شبکه‌های توزیع بوسیله معیارهای قابلیت اطمینان می‌تواند باعث بهبود توانایی سیستم‌های قدرت در مقابله با حوادث غیرمترقبه شود، همچنین موجب تامین برق با کیفیت بالا برای مشترکین می‌گردد.

با توجه به اینکه حوادثی با احتمال وقوع کم و تاثیر زیاد، سالانه منجر به خسارات فراوان و خاموشی‌های و بلندمدت در شبکه توزیع می‌گردد، باعث شده که اهمیت ارزیابی تاب‌آوری شبکه توزیع و ارائه راهکارهایی در جهت بهبود آن در مقابله با شرایط نامساعد آب و هوایی، در الویت تحقیقاتی شرکت‌های توزیع قرار گیرد (Wang et al., 2015). تاب‌آوری در سیستم قدرت به معنای توانایی سیستم برای حفظ یک سطح قابل قبول از عملکرد در برابر رویدادهای مختل‌کننده با تاثیر زیاد و احتمال وقوع کم و بازگشت سریع از این حوادث تعریف می‌شود. با توجه به اینکه تاب‌آوری مفهومی جدید در زمینه مطالعات سیستم‌های قدرت است، مطالعات متعددی در این زمینه انجام گرفته و نیز شاخص‌های کمی را برای ارزیابی تاب‌آوری ارائه کرده‌اند.

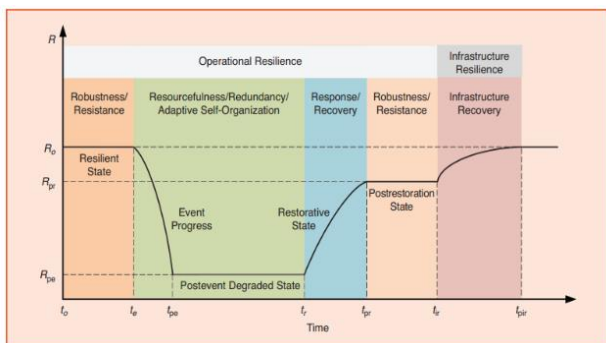
(Panteli & Mancarella, 2015b) ابتدا، مبانی ارزیابی تاب‌آوری همراه با مؤلفه‌های آن معرفی و تفاوت آن با حوزه قابلیت اطمینان ارائه کرده، سپس با استفاده از یک الگوریتم ابتکاری جدید مبتنی بر نظریه گراف، یک معیار جدید برای ارزیابی تاب‌آوری شبکه ارائه کرده‌اند. برای ارائه بهتر مفهوم تاب‌آوری شبکه توزیع برق با توجه به تاثیر حوادث غیر مترقبه، شاخص‌های کمی برای ارزیابی تاب‌آوری شبکه فرموله شده است (Attoh-Okine et al., 2009; Zhang et al., 2017). در مرجع (Chanda, 2015)، شاخص‌های قابلیت اطمینان نظیر احتمال از دست رفتن بار و انرژی تامین نشده برای مطالعات تاب‌آوری ارائه شده، همچنین تلاش‌هایی برای بهبود تاب‌آوری شبکه انجام گرفته است. در مرجع (Panteli et al., 2016)، با مدل‌سازی ریاضی حوادث جوی و

بررسی خطوط آسیب‌پذیر در شبکه برق، سناریوهای خرابی با احتمال وقوع بالا معرفی شده و تاب‌آوری با استفاده از شاخص شدت ریسک مورد بررسی قرار گرفته است. در مرجع (Ma et al., 2016)، با در نظر گرفتن اولویت بارهای سیستم توزیع، خطوط بحرانی در شبکه شناسایی شده، همچنین راهکارهایی برای تقویت این خطوط با استفاده از مدل‌های مختلف در راستای تقویت تاب‌آوری شبکه در مقابله با حوادث غیر مترقبه ارائه شده است. (W. Yuan et al., 2016)، پس از بررسی اجزاء مهم و آسیب‌پذیر شبکه توزیع، با استفاده از مدل مدافع-مهاجم، راهکارهایی برای تقویت اجزاء شبکه به منظور بهبود تاب‌آوری سیستم توزیع در مواجهه با شرایط بد آب و هوایی نظیر طوفان ارائه کرده‌اند. راهکارهایی برای بهبود تاب‌آوری بهینه شبکه با در نظر گرفتن شرایط آب و هوایی طوفانی مدل‌سازی و ارائه شده است (Ma et al., 2018; Wang et al., 2017). به عنوان مثال، تقویت کابل‌های زمینی و خطوط هوایی. (Bajpai et al., 2016)، روش جدیدی مبتنی بر نظریه گراف برای ارزیابی تاب‌آوری شبکه و تامین بارهای بحرانی در طول حوادث احتمالی شدید پیشنهاد کرده‌اند. الگوریتم پیشنهادی در این مطالعه به منظور محاسبه تاب‌آوری برای تمام پیکربندی‌های استفاده شده است. بخش دیگری از مطالعات از استراتژی‌های دیگری مانند مدیریت سوئیچینگ، تاثیر واحدهای تولید پراکنده و ریز شبکه‌ها برای بهبود تاب‌آوری سیستم توزیع در مواجهه با حوادث شدید جوی استفاده کرده‌اند. در مرجع (Attoh-Okine et al., 2009) ابتدا، اثر حوادث آب و هوایی شدید نظیر طوفان بر روی شبکه توزیع مدل‌سازی شده، سپس موقعیت بهینه کلیدها در شبکه توزیع با توجه به منابع تولید پراکنده در راستای بهبود تاب‌آوری شبکه انتخاب شده است. در مرجع (Najafi et al., 2018)، یک شاخص تاب‌آوری جدید بر اساس مفهوم رفاه اجتماعی برای ارزیابی سریع سیستم توزیع و کاهش وابستگی عملیات شبکه آب به خرابی شبکه برق پیشنهاد شده است. همچنین در این مطالعه، تاثیر واحدهای تولید پراکنده و اتوماسیون سیستم توزیع در ارزیابی تاب‌آوری شبکه توزیع در نظر گرفته شده است. (C. Yuan et al., 2016) الگوریتم ابتکاری جدیدی را برای شناسایی طرح ارزیابی بهینه سیستم توزیع بر اساس عملیات سوئیچینگ به منظور بهبود تاب‌آوری شبکه پیشنهاد کرده‌اند. یک روش ابتکاری دو مرحله‌ای برای مسئله ارزیابی بارهای بحرانی به منظور ارزیابی تاب‌آوری سیستم توزیع پیشنهاد شده است (Gao et al., 2016). ابتدا، تمام مسیرهای ارزیابی امکان‌پذیر ایجاد می‌شود، سپس استراتژی ارزیابی بارهای بحرانی با حل یک برنامه عدد صحیح خطی به دست می‌آید. (Poudel & Dubey, 2018)، روش پیشرفته‌ای را برای ارزیابی بار بحرانی با استفاده از پیکربندی مجدد فیدرهای سیستم توزیع در حضور منابع تولید پراکنده به منظور بهبود تاب‌آوری شبکه ارائه کرده‌اند. مدلی بر اساس برنامه‌ریزی خطی عدد صحیح مختلط برای ارزیابی تاب‌آوری سیستم‌های توزیع در حضور واحدهای تولید پراکنده و ذخیره انرژی در صورت بروز حوادث پیشنهاد شده است (Gautam et al., 2020; Mousavizadeh et al., 2018).

همراه قیود مسئله معرفی شده است. در بخش چهارم، شبیه‌سازی و بررسی شاخص تاب‌آوری به همراه نمودارها و تجزیه و تحلیل آنها ارائه شده است. نتیجه‌گیری نیز در بخش پنجم ارائه شده است.

۲- مفهوم تاب‌آوری سیستم قدرت

تاب‌آوری را می‌توان به عنوان توانایی سیستم برای حفظ سطح قابل قبول عملکرد در برابر اختلال شدید و بازگشت در یک دوره زمانی مناسب تعریف کرد. این مفهوم کاملاً متفاوت از مفهوم قابلیت اطمینان است. قابلیت اطمینان یک معیار احتمالی برای توانایی یک سیستم به منظور ارائه عملکرد مورد انتظار تحت شرایط خاص است (Chen et al., 2015). به منظور نشان دادن سطح تاب‌آوری شبکه برق در مواجهه با یک رویداد غیرمنتظره، منحنی تاب‌آوری سیستم در طول یک رویداد به عنوان تابعی از زمان وقوع رویداد در شکل (۱) ترسیم شده است. در این شکل، R معیار مناسبی برای نشان دادن سطح تاب‌آوری سیستم قدرت است. این منحنی شامل ویژگی‌های اصلی تاب‌آوری است که سیستم قدرت برای غلبه بر یک رویداد پیش‌بینی نشده باید داشته باشد. به عبارت دیگر، یک سیستم قدرت باید بخوبی طراحی شده باشد تا دارای تاب‌آوری کافی برای غلبه بر حادثه باشد که در شکل ۱ با R_0 نشان داده شده است. هنگامی که یک رویداد غیرمنتظره رخ می‌دهد، سیستم پس از حادثه وارد روند نزولی می‌شود، تاب‌آوری سیستم در این مرحله به شدت به خطر افتاده است (R_{pe}). کاردانی، افزونگی، و خودسازماندهی تطبیقی از ویژگی‌های کلیدی تاب‌آوری در این مرحله از حادثه هستند، این ویژگی‌ها کمک می‌کند تا تاثیر حادثه یا افت تاب‌آوری سیستم قبل از شروع فرآیند بازیابی در زمان t_r به حداقل برسد. در مرحله بعد، سیستم وارد حالت بازیابی می‌شود که در آن باید ظرفیت لازم برای شروع بازیابی سریع را داشته باشد تا هنگامیکه در سریع‌ترین زمان ممکن به حالت حداکثر تاب‌آوری برسد. پس از بازیابی اولیه، سیستم وارد فاز بازیابی کامل می‌شود تا به حالت قبل از حادثه برگردد. زمان مورد نیاز برای بازیابی کامل سیستم به شدت حادثه و ویژگی‌های تاب‌آوری سیستم قبل و حین حادثه بستگی دارد (Wang et al., 2013).



شکل ۱- منحنی تاب‌آوری یک سیستم پس از حادثه (Wang et al., 2013)

یک چارچوب کلی برای تحلیل تاب‌آوری یک شبکه قدرت با ریز شبکه‌های یکپارچه در شرایط بحرانی ارائه شده است (Liu et al., 2016). هدف این طرح، ارائه توانایی ریزشبکه‌ها برای بهبود تاب‌آوری شبکه برق در شرایط بحرانی می‌باشد. (Manshadi & Khodayar, 2015). روشی را برای شناسایی اجزای آسیب‌پذیر و حصول اطمینان از عملکرد تاب‌آور زیرساخت‌های هماهنگ برق و گاز طبیعی با در نظر گرفتن اختلالات ریز شبکه‌های چندگانه پیشنهاد کرده‌اند. رویکرد پیشنهادی به آسیب‌پذیری ریز شبکه‌های چندگانه حامل انرژی و استفاده از روش‌های پیشگیرانه برای افزایش تاب‌آوری عرضه انرژی در مواجهه با رویدادهای مختلف می‌پردازد.

بررسی مطالعات فوق نشان می‌دهد، برخی از مراجع (Chanda, 2015; C. Yuan et al., 2016). تاب‌آوری سیستم توزیع را با استفاده از دیدگاه‌های قابلیت اطمینان مدل‌سازی کرده‌اند. با این حال، مطالعه تاب‌آوری از جنبه‌های مختلف، مانند مدل‌سازی رویداد/عیب شدید، ارزیابی آسیب، و معیارهای عملکرد نقطه بار/سیستم با دیدگاه قابلیت اطمینان متفاوت است. برخی از مراجع (Gautam et al., 2020; Mousavizadeh et al., 2018)، اثر منابع تولید پراکنده برای بهبود تاب‌آوری لحاظ کرده‌اند. اما علاوه بر در نظر نگرفتن عدم قطعیت توان این واحدها، هزینه‌های عملیاتی و تجهیزات الکترونیکی قدرت برای تامین برق با فرکانس خاص نیز لحاظ نشده است. برخی از مراجع (Gao et al., 2016; Poudel & Dubey, 2018)، مفاهیم بازیابی بار و سوئیچینگ برای ارزیابی تاب‌آوری سیستم توزیع استفاده کرده‌اند. هدف این مطالعات، بازیابی بارهای بحرانی در هنگام خطا است و به مفاهیمی مانند شناسایی نقاط حادثه خیز یا تقویت بخش‌هایی از سیستم در صورت وقوع حادثه احتمالی در سیستم توزیع توجه کمی شده است. همچنین هیچ یک از مطالعات در زمان وقوع حادثه شبکه را از دو دیدگاه قابلیت اطمینان و تاب‌آوری بررسی نکرده است.

نوآوری‌های اصلی این مقاله بر اساس بررسی مطالعات قبلی به شرح زیر است:

- ارائه ایده جدید مبتنی بر احداث خطوط تای‌لاین با استفاده از نظریه گراف، به منظور انتقال سریع توان بین بخش سالم و نواحی حادثه دیده شبکه در صورت وقوع حادثه احتمالی.
- ارائه یک چارچوب ریاضی در این مطالعه از دو دیدگاه تاب‌آوری و قابلیت اطمینان شبکه توزیع، با در نظر گرفتن ترکیبی از هزینه احداث خطوط تای‌لاین، هزینه قابلیت اطمینان و هزینه تاب‌آوری به عنوان تابع هدف مسئله.
- معرفی دو شاخص مجزا به منظور محاسبه تاب‌آوری و قابلیت اطمینان شبکه توزیع.
- ارائه یک روش ابتکاری مبتنی بر تکرار جهت احداث بهینه خطوط تای‌لاین به منظور انتقال سریع توان به بخش‌های آسیب‌دیده شبکه.

ادامه این مقاله به شرح زیر سازماندهی شده است. در بخش دوم مفهوم تاب‌آوری سیستم ارائه شده است. در بخش سوم، فرمولاسیون مسئله به

۳- فرمول‌بندی مسئله

در این بخش، توابع هدف و محدودیت‌های مسئله به صورت زیر ارائه می‌شود:

۳-۱- تابع هدف

به طور کلی، تابع هدف این مطالعه شامل سه بخش هزینه تاب‌آوری، هزینه قابلیت اطمینان و هزینه احداث خطوط تالی‌لاین می‌باشد.

$$\begin{aligned} \text{Min (OF)} = & \text{Total cost}_{Tie-line} + \text{Cost}_{rel} + \\ & \text{Cost}_{res} = \text{Cost}_{Tie-line} \times L_{Tie-line} \\ & + (\text{EENS}^{rel} \times \text{VOLL}) + (\text{EENS}^{res} \times \text{VOLL}) \end{aligned} \quad (1)$$

در رابطه بالا، ترم اول و دوم بیانگر هزینه کل احداث خطوط تالی‌لاین و هزینه قابلیت اطمینان می‌باشد. ترم سوم رابطه، بیانگر هزینه تاب‌آوری می‌باشد. Cost_{res} و Cost_{rel} به ترتیب نمایانگر هزینه قابلیت اطمینان و تاب‌آوری شبکه می‌باشد.

• مدل‌سازی هزینه تاب‌آوری

هزینه تاب‌آوری شبکه با توجه به رابطه (۲) به شرح زیر است:

$$\text{Cost}_{res} = (\text{EENS}^{res} \times \text{VOLL}) \quad (2)$$

لازم به ذکر است که در این مطالعه دو نوع انرژی تامین نشده (ENS) در نظر گرفته شده است. نوع اول انرژی تامین نشده مرتبط با تاب‌آوری (EENS^{res}) به دلیل رخداد یک حادثه است. انرژی تامین نشده انتظاری (EENS^{res}) مرتبط با تاب‌آوری از ضرب انرژی تامین نشده ناشی از حادثه در احتمال وقوع حادثه به دست می‌آید. EENS^{res} را می‌توان با توجه به شکل (۱) بصورت رابطه زیر فرموله کرد:

$$\text{EENS}^{res} = \int_{T_{pe}}^{T_r} (L_b - R) dt \quad (2)$$

در رابطه بالا، L_b و T_0 به ترتیب بیانگر بار پایه و زمان رخداد حادثه می‌باشند. R و T_0 به ترتیب بیانگر زمان بازسازی شبکه و تابع بار بازیابی شده پس از حادثه می‌باشند. EENS^{res} را می‌توان بصورت رابطه زیر فرموله کرد:

$$\text{EENS}^{res} = \text{EENS}^{res} \times P \quad (3)$$

در رابطه بالا، P احتمال وقوع یک حادثه است. در این مطالعه، مقدار ارزش بار از دست رفته (VOLL) در ارزیابی تاب‌آوری با مقدار ارزش بار از دست رفته در ارزیابی قابلیت اطمینان یکسان فرض شده است.

• مدل‌سازی هزینه قابلیت اطمینان

هزینه قابلیت اطمینان شبکه با توجه به رابطه (۴) به شرح زیر است:

$$\text{Cost}_{res} = \text{EENS}^{res} \times \text{VOLL} \quad (4)$$

نوع دوم انرژی تامین نشده مربوط به مطالعات قابلیت اطمینان (ENS^{rel}) است که مجموع انرژی تامین نشده بدلیل خطا را در طول

دوره مشخص مطالعه منعکس می‌کند. EENS^{rel} با توجه به رابطه (۵) بصورت زیر فرموله می‌شود:

$$\text{EENS}^{rel} = \sum_{i=1}^N L_{a_i} \times U_i \times P \quad (5)$$

در رابطه بالا، L_{a_i} و N بیانگر بار سالیانه در نقطه i و تعداد باس‌ها می‌باشند. U_i بیانگر میانگین مدت خاموشی دائمی در نقطه i است.

• مدل‌سازی هزینه احداث خطوط تالی‌لاین

هزینه کل احداث خطوط تالی‌لاین به صورت زیر بیان می‌گردد:

$$\text{Total Cost}_{Tie-lines} = \text{Cost}_{Tie-lines} \times L_{Tie-lines} \quad (6)$$

در رابطه بالا، $\text{Cost}_{Tie-lines}$ و $L_{Tie-lines}$ به ترتیب بیانگر هزینه ساخت خطوط تالی‌لاین و طول خطوط تالی‌لاین می‌باشد.

۳-۲- قیود مسئله

محدودیت‌های مسئله بهینه‌سازی مورد نظر در این مطالعه به شرح زیر است:

• معادلات پخش بار

قید معادلات پخش بار از روابط (۷)-(۸) محاسبه می‌شود:

$$P_{i,t} = \sum_{j=1}^{N_{Bus}} V_{i,t} V_{j,t} Y_{ij} \cos(\theta_{ij} - \delta_{i,t} + \delta_{j,t}) \quad (7)$$

$$Q_{i,t} = \sum_{j=1}^{N_{Bus}} V_{i,t} V_{j,t} Y_{ij} \sin(\theta_{ij} - \delta_{i,t} + \delta_{j,t}) \quad (8)$$

$P_{i,t}$ و $Q_{i,t}$ به ترتیب توان‌های اکتیو و راکتیو تزریقی شبکه به باس i نام هستند. $V_{i,t}$ و $\delta_{i,t}$ به ترتیب دامنه و زاویه ولتاژ باس i نام می‌باشند. Y_{ij} و θ_{ij} به ترتیب بیانگر اندازه و زاویه ادمیتانس شاخه بین باس‌های i و j هستند.

• محدوده مربوط به ولتاژ باس‌ها

$$V_{min} \leq V_i \leq V_{max} \quad (9)$$

V_{max} و V_{min} به ترتیب بیانگر مقدار حداقل و حداکثر مقدار قابل قبول ولتاژ باس i نام هستند.

• محدوده مربوط به جریان فیدرها

$$|I_{f,i}| \leq I_{f,i}^{Max} \quad i = 1, 2, \dots, N_{feeder} \quad (10)$$

$I_{f,i}$ و $I_{f,i}^{Max}$ به ترتیب دامنه جریان و حداکثر جریان فیدر i نام می‌باشند.

• شرط شعاعی بودن شبکه

$$N_{branch} = N_{Bus} - 1 \quad (11)$$

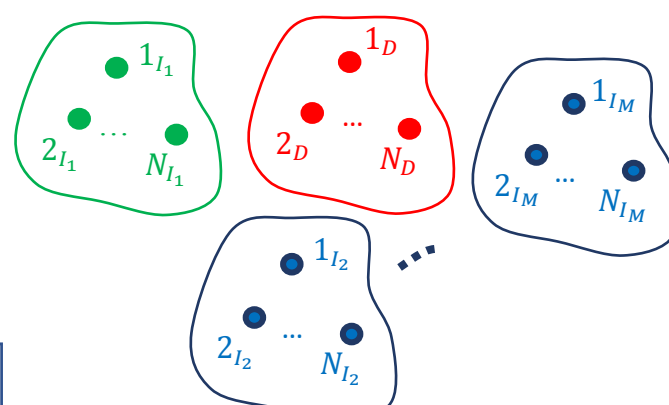
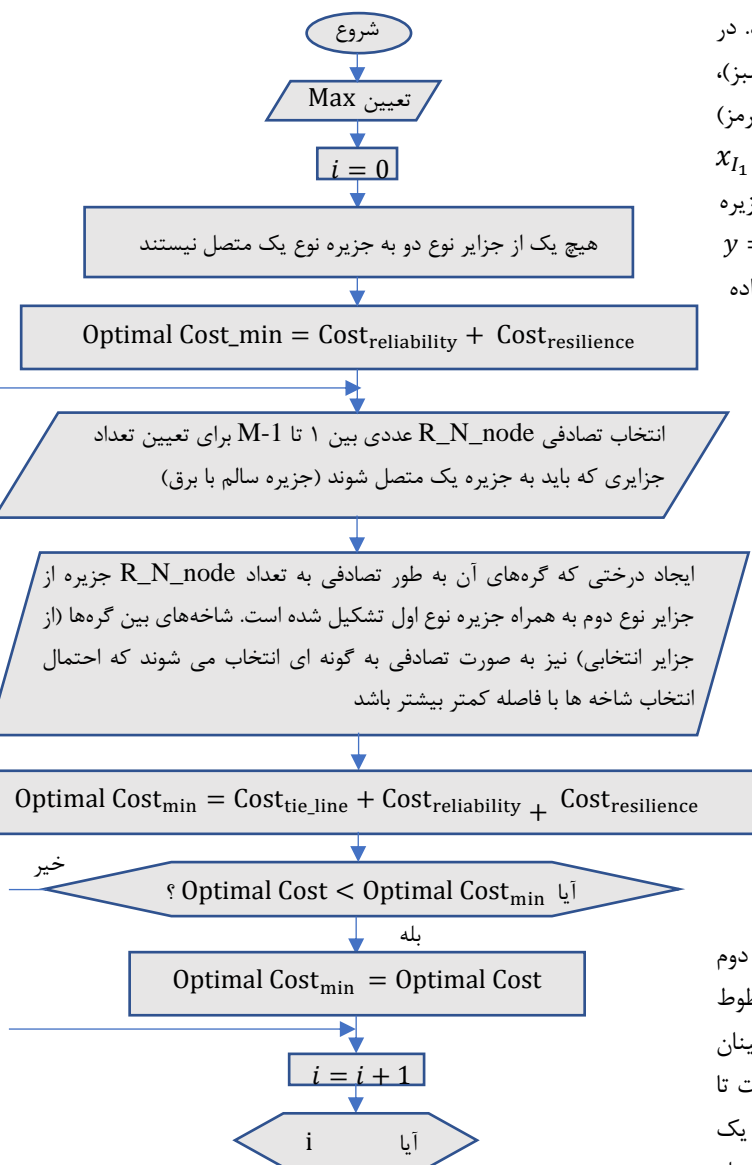
N_{branch} و N_{bus} به ترتیب بیانگر تعداد باس‌ها و خطوط شبکه می‌باشند.

۴- روش پیشنهادی

راهکار پیشنهادی در این مطالعه برای برقرار کردن جزایر نوع ۲، ایجاد اتصال خطوط تای لاین بین جزیره نوع اول (سالم و برقدار) و جزایر نوع دوم (سالم ولی بدون برق) است. شکل (۲)، جزایر حاصل از شبکه توزیع را بعد از وقوع حادثه و صدمه دیدن بخشی از شبکه نشان می‌دهد. در این شکل شبکه به $M+1$ جزیره شامل یک جزیره نوع اول (رنگ سبز)، $M-1$ جزیره نوع دوم (رنگ آبی) و یک جزیره دیگر نوع سوم (رنگ قرمز) تقسیم شده است. در شکل ۱ باس‌های (گره‌های) جزیره نوع اول با x_{I_1} ، باس‌های (گره‌های) جزیره نوع دوم با x_{I_j} و باس‌های (گره‌های) جزیره نوع سوم با x_D نشان داده شده است، که $x = 1, \dots, N$ و $y = 2, \dots, M$ هستند. فلوجارت الگوریتم پیشنهادی در شکل (۳) نشان داده شده است.

$$A_I = \begin{bmatrix} 0 & a_{I_1, I_2} & \dots & a_{I_1, I_{M-1}} & a_{I_1, I_M} \\ \vdots & & & \ddots & \vdots \\ a_{I_M, I_1} & a_{I_M, I_2} & \dots & a_{I_{M-1}, I_{M-1}} & 0 \end{bmatrix} \quad (13)$$

هیچ یکی از عناصر ماتریس B_{I_i, I_j} است، ثاباً $a_{I_i, I_j} = a_{I_j, I_i}$ و ثالثاً $a_{I_i, I_i} = 0$ $i \neq j$ می باشد.



شکل ۲- تعداد کل جزیره ها

از نظر اقتصادی زمانی برق دارد کردن همه یا تعدادی از جزایر نوع دوم از طریق جزیره نوع اول مقرون به صرفه است که هزینه احداث خطوط تای لاین در مقابل هزینه انرژی تامین نشده بواسطه قابلیت اطمینان شبکه و همچنین تاب‌آوری آن، مقرون به صرفه باشد. لذا لازم است تا بهینه ترین اتصال یا اتصالات بین جزایر نوع اول و دوم را از طریق یک فرآیند جستجوی هوشمندی پیدا نمود. برای این منظور ماتریس فاصله بین باس‌های جزایر I_1 و I_j مذکور برای تحلیل هزینه احداث خطوط تای لاین بصورت زیر تعریف می‌شود:

$$B_{I_i, I_j} = \begin{bmatrix} b_{1I_i, 1I_j} & b_{1I_i, 2I_j} & \dots & b_{1I_i, (N-1)I_j} & b_{1I_i, NI_j} \\ \vdots & & & \ddots & \vdots \\ b_{NI_i, 1I_j} & b_{NI_i, 2I_j} & \dots & b_{NI_i, (N-1)I_j} & b_{NI_i, NI_j} \end{bmatrix} \quad (12)$$

ماتریس B_{I_i, I_j} فاصله بین باس‌های جزیره I_i و I_j است. به نحویکه b_{kI_i, hI_j} فاصله بین باس k ام از جزیره I_i و باس h ام از جزیره I_j را نشان می‌دهد. ماتریس A_I همسایگی بین M جزیره نوع اول و دوم (جزیره اول بعلاوه $M-1$ جزیره از نوع دوم) بصورت رابطه زیر تعریف می‌شود:

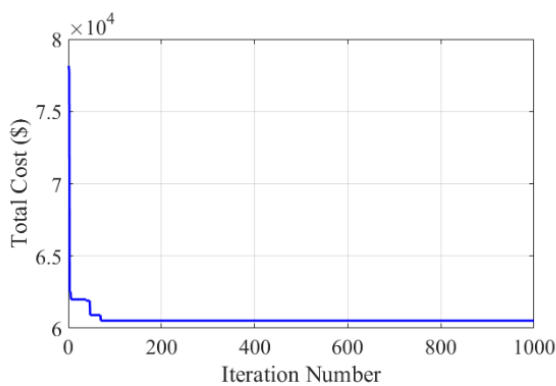
شکل ۳- فلوجارت الگوریتم پیشنهادی

هدف روش بهینه‌سازی، احداث خطوط تای لاین از بخش سالم به بخش‌های آسیب دیده با هدف مینیمم کردن هزینه کل می‌باشد. از این رو، بصورت تصادفی یک گره از بخش سالم را انتخاب می‌کنیم و تای لاین هایی بین آن نقطه با سایر نقاط در بخش‌های آسیب دیده شبکه، احداث می‌کنیم. روش پیشنهادی ممکن است احداث تای لاین‌های مختلفی را در تکرارهای مختلف پیشنهاد دهد. با توجه به شرط ماکزیمم تکرار، جواب بهینه از بین تای لاین های احداثی در تکرارهای مختلف که منجر به مینیمم شدن رابطه (۱) می‌شود، انتخاب می‌شود.

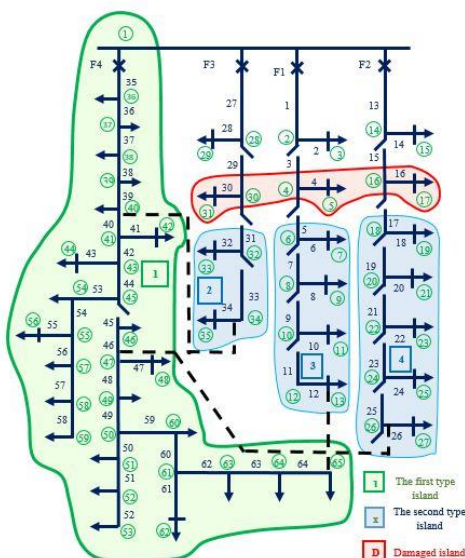
[Downloaded from ieiqip.ir on 2025-01-15] [DOR: 20.1001.1.23222344.1402.12.2.3.4]

۵- مورد مطالعاتی

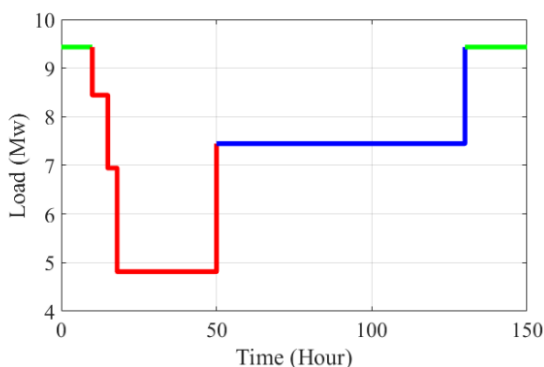
رابطه (۱)، مقدار هزینه کل حاصل از روش پیشنهادی به ۶۰۲۹۱ دلار رسیده است. مقدار کاهش هزینه کل نسبت به قبل از ساخت خطوط تای‌لاین حدود ۲۱۲۷۳ دلار است. منحنی همگرایی تابع هدف هزینه کل حاصل از روش پیشنهادی در شکل (۴) نشان داده شده است. همچنین، توپولوژی جدید شبکه پس از احداث خطوط تای‌لاین جدید و منحنی تاب‌آوری شبکه در شکل‌های ۵ و ۶ نشان داده شده است. طول کل خطوط تای‌لاین احداثی در این سناریو ۳.۲۴۷ کیلومتر است.



شکل ۴- منحنی همگرایی هزینه کل حاصل از روش پیشنهادی



شکل ۵- توپولوژی جدید شبکه پس از احداث خطوط تای‌لاین



هدف این بخش، بکارگیری روش پیشنهادی برای احداث بهینه خطوط تای‌لاین جدید در شبکه با هدف ارتقای سطح تاب‌آوری و قابلیت اطمینان شبکه توزیع در صورت بروز حادثه احتمالی در شبکه استاندارد RBTS می‌باشد (Gao et al., 2016). در این مطالعه، فیدر ۶ شبکه تست مورد بررسی قرار گرفته است، اطلاعات مربوط به فاصله باس‌های شبکه در جداول ۳ تا ۸ در بخش پیوست ارائه شده است. با فرض قرار گرفتن شبکه در یک منطقه کوهستانی، فیدرهای شماره ۱، ۲ و ۳ که در منطقه حادثه خیز قرار دارند در معرض آسیب ناشی از بارندگی و سیل قرار می‌گیرند. در این حالت مجموع بارهای متصل به این سه فیدر ۵/۹۰۰۲ مگاوات می‌باشد که در اثر حادثه دچار قطعی می‌شود. در صورت وقوع سیل در این منطقه، خطوط ۲ و ۳ مربوط به فیدر ۱ هر کدام به طول ۰/۶ کیلومتر، خطوط ۱۵ و ۱۶ مربوط به فیدر ۲ هر کدام به طول ۰/۶ و ۰/۸، و خط شماره ۲۹ به طول ۰/۶ به طور کلی از بین خواهند رفت. این حادثه باعث قطع برق در این سه فیدر می‌شود. فیدرهای شماره ۱ و ۲ و ۳ قابلیت مانور با فیدر شماره ۴ را دارند.

۶- نتایج شبیه‌سازی

به منظور ارزیابی تاب‌آوری شبکه توزیع با توجه به احتمال وقوع و شدت حادثه، همچنین هزینه‌های قابلیت اطمینان، تاب‌آوری، و احداث خطوط تای‌لاین جدید، سناریوهایی به شرح زیر تعریف می‌شود:

سناریو ۱: احتمال وقوع و شدت حادثه به ترتیب برابر با ۰/۰۱ و ۰/۹۹ است. ارزش بار از دست رفته مربوط به قابلیت اطمینان و تاب‌آوری به صورت یکسان و برابر ۱۰۰۰ دلار است، و هزینه احداث خطوط تای‌لاین جدید ۱۰۰۰ دلار می‌باشد.

سناریو ۲: احتمال وقوع و شدت حادثه به ترتیب ۰/۰۱ و ۰/۹۹ است. ارزش بار از دست رفته مربوط به قابلیت اطمینان و تاب‌آوری به صورت یکسان و برابر ۱۰۰۰ دلار است، و هزینه احداث خطوط تای‌لاین جدید ۵۰۰۰ دلار می‌باشد.

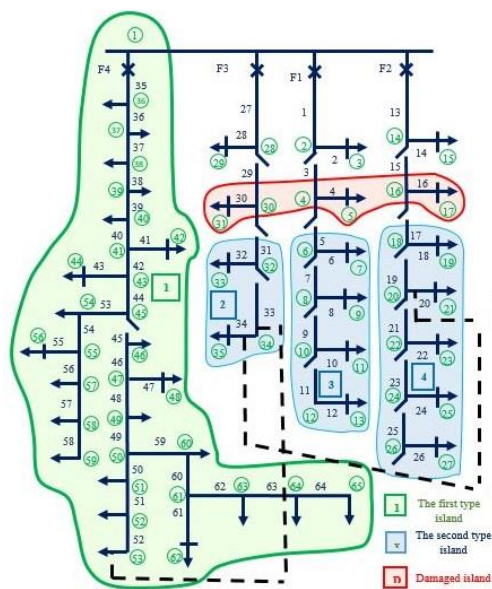
سناریو ۳: احتمال وقوع و شدت حادثه به ترتیب برابر با ۰/۰۹ و ۰/۱ است. ارزش بار از دست رفته مربوط به قابلیت اطمینان و تاب‌آوری به صورت یکسان و برابر ۱۰۰۰ دلار است، و هزینه احداث خطوط تای‌لاین جدید ۱۰۰۰ دلار می‌باشد.

سناریو ۴: احتمال وقوع و شدت حادثه به ترتیب ۰/۰۹ و ۰/۱ است. ارزش بار از دست رفته مربوط به قابلیت اطمینان و تاب‌آوری به صورت یکسان و برابر ۱۰۰۰ دلار است، و هزینه احداث خطوط تای‌لاین جدید ۵۰۰۰ دلار می‌باشد.

• سناریو ۱

با توجه به احتمال و شدت حادثه ۰/۰۱ و ۰/۹۹، مقدار هزینه کل شامل هزینه قابلیت اطمینان و تاب‌آوری قبل از احداث خطوط تای‌لاین جدید ۸۱۵۶۴ دلار است. پس از انجام بهینه‌سازی تابع هزینه کل مطابق با

مقایسه نتایج سناریوهای یک و دو نشان می‌دهد که با افزایش هزینه احداث خطوط تای لاین، یکی از تای لاین‌ها در برنامه بهینه‌سازی کاهش یافته، و این امر منجر به قطعی برق در جزیره ۲ و همچنین افزایش هزینه کل، $EENS^{res}$ و $EENS^{rel}$ می‌شود. طول کل خطوط تای لاین احداثی در این سناریو ۲/۱۸ کیلومتر است که حدود یک کیلومتر کمتر از سناریوی قبلی می‌باشد. همچنین، با توجه به منحنی تاب‌آوری در شکل (۷)، مشخص است که بار کمتری نسبت به سناریوی یک بازیابی شده است.



شکل ۹- آرایش جدید شبکه پس از احداث خطوط تای لاین

در جدول ۱، مقایسه‌ای بین نتایج سناریوهای یک و دو انجام گرفته است، بررسی نتایج هر دو سناریو نشان می‌دهد که $EENS^{res}$ و $EENS^{rel}$ آوری در هر دو سناریو به ترتیب بیش از ۲۲ مگاوات و ۷.۵ مگاوات نسبت به حالت اولیه کاهش یافته‌اند، که نشان دهنده اثربخشی احداث خطوط تای لاین برای بهبود تاب‌آوری و قابلیت اطمینان شبکه است. همچنین هزینه کل در دو سناریو به ترتیب به ۳۰ درصد و ۱۲ درصد نسبت به حالت اولیه کاهش یافته است.

سناریو ۳

در این سناریو، پس از تغییر احتمال وقوع حادثه و شدت آن به ۰/۹ و ۰/۱، نتایج برنامه بهینه‌سازی به شرح زیر است: هزینه کل ۶۰۵۴۳ دلار به دست آمده که نسبت به شرایط اولیه شبکه قبل از احداث خطوط جدید تای لاین حدود ۲۱۰۲۱ دلار کاهش داشته است. منحنی همگرایی تابع هزینه کل به دست آمده از روش پیشنهادی در شکل ۱۰ نشان داده شده است. همچنین، منحنی تاب‌آوری و توپولوژی جدید شبکه پس از احداث خطوط تای لاین جدید در شکل‌های ۱۱ و ۱۲ نشان داده شده است.

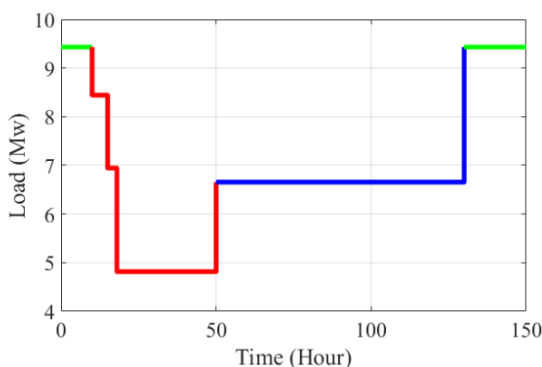
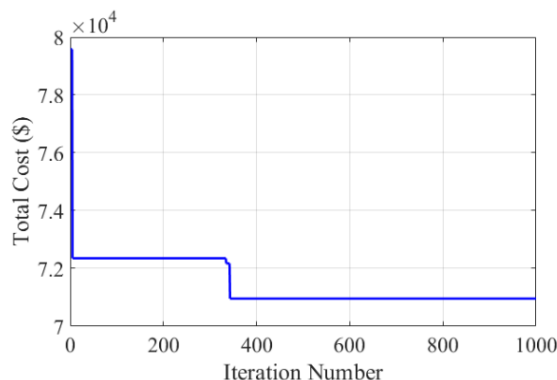
با توجه به شکل ۱۲، مشخص است که هر سه جزیره مشابه سناریو یک توسط خطوط تای لاین جدید برق دار شده‌اند، اما هزینه کل ۲۵۲ دلار بیشتر است. طول کل خطوط تای لاین احداثی در این سناریو ۳.۲

شکل ۶- منحنی تاب‌آوری شبکه در سناریو ۱

مطابق شکل (۵)، فیدرهای ۱، ۲ و ۳ در جزایر دوم تا چهارم با احداث سه تای لاین به فیدر ۴ در جزیره ۱ متصل شده و هر سه جزیره بی‌برق پس از احداث خطوط برقرار شده‌اند. مقدار شاخص‌های قابلیت اطمینان و تاب‌آوری مربوط به این سناریو در جدول (۱) در سناریو دوم ارائه شده است. با توجه به شکل (۶)، ابتدا کل شبکه به طور عادی کار می‌کند. سپس جزایر دوم تا چهارم بدلیل حادثه بی‌برق می‌شوند. پس از اتصال خطوط تای لاین از فیدر ۴ در جزیره یک به سه فیدر دیگر، جزایر به مرور زمان مجدداً برقرار می‌شوند. نهایتاً، بخشی از بار در بالادست جزایر دوم تا چهارم که درگیر حادثه شده بودند پس از انجام تعمیرات در قسمت‌های آسیب دیده بازیابی می‌شود.

سناریو ۲

با افزایش هزینه احداث خطوط تای لاین از ۱۰۰۰ به ۵۰۰۰ دلار در این سناریو، مقدار بهینه تابع هدف هزینه کل حاصل از روش پیشنهادی به ۷۰۹۵۱ دلار رسیده که ۱۰۶۶۰ دلار بیشتر از سناریوی اول است. منحنی همگرایی هزینه کل حاصل از روش پیشنهادی در شکل (۷) نشان داده شده، همچنین آرایش جدید شبکه و منحنی تاب‌آوری پس از احداث خطوط تای لاین در شکل‌های ۸ و ۹ نشان داده شده است.



شکل ۷- منحنی همگرایی هزینه کل حاصل در سناریو ۲

شکل ۸- منحنی تاب‌آوری شبکه در سناریو ۲

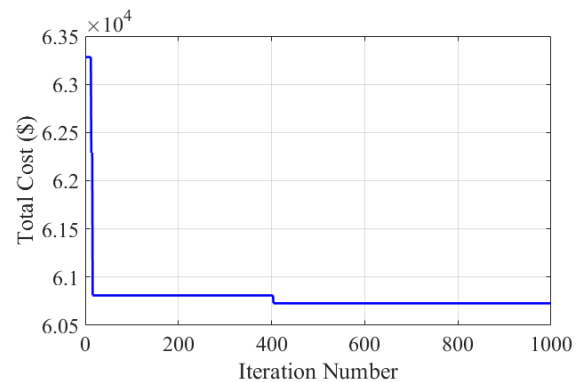
کیلومتر است. مقایسه نتایج شبیه‌سازی سناریوی ۳ با سناریوی ۲ نشان می‌دهد که هزینه کل نسبت به سناریوی ۲ حدود ۱۰۴۰۸ دلار کاهش یافته است.

سناریو	EENS ^{rel} (مگاوات ساعت) (برسال)	EENS ^{res} (مگاوات ساعت) (برسال)	طول خطوط تایلین احداثی (کیلومتر)	هزینه کل (دلار)
۱- پایه	۸۱/۵	۱۰/۰۶	۰	۸۱۵۶۴/۲۵
سناریوی ۱	۵۷/۰۴	۱/۹۸۵	۳/۳۴۷	۶۰۲۹۱/۴۶
سناریوی ۲	۵۹/۵۱	۲/۷۷۶	۲/۱۸۹	۷۰۹۵۱/۲۳

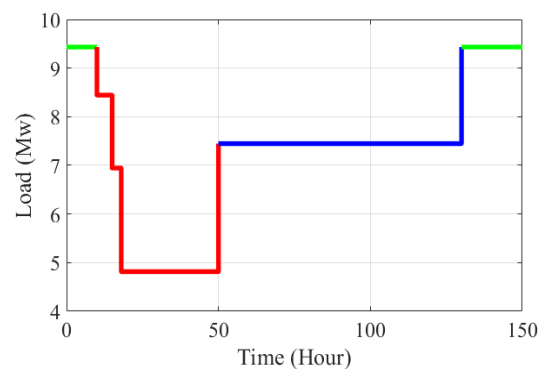
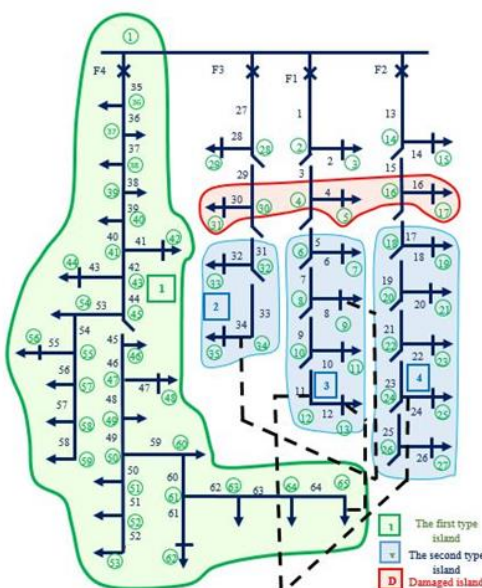
پیشنهادی در سناریوهای اول و دوم

جدول (۲) نتایج بهینه سازی توابع هدف و طول خطوط تایلین احداثی به دست آمده از روش پیشنهادی را برای هر دو سناریو سوم و چهارم ارائه می‌کند.

به منظور مقایسه نتایج سناریوهای ۳ و ۴، همچنین تأثیر هزینه احداث خطوط تایلین بر توابع هدف، مقایسه‌ای بین مقدار توابع هدف EENS^{rel}، EENS^{res} و هزینه کل با تغییر هزینه احداث خطوط تایلین از ۱۰۰۰ تا ۱۱۰۰۰ در شکل‌های ۱۳ تا ۱۵ انجام گرفته است.



شکل ۱۰- منحنی همگرایی هزینه کل حاصل در سناریوی ۲

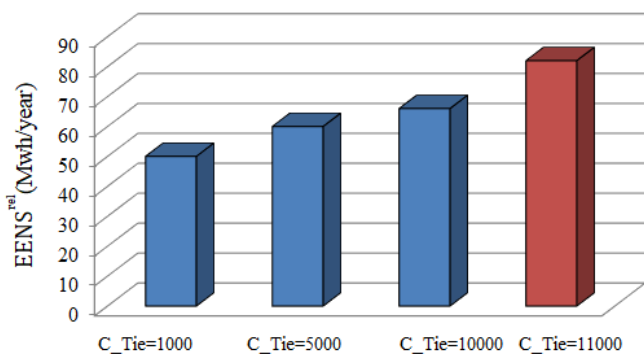


شکل ۱۱- منحنی تاب‌آوری شبکه در سناریوی ۲

• سناریوی ۴

در این سناریو، هزینه احداث خطوط تایلین نسبت به سناریوی سوم ۵ برابر شده است، اما احتمال و شدت حادثه مشابه سناریوی سوم است.

شکل ۱۲- آرایش جدید شبکه پس از احداث خطوط تایلین در سناریوی ۳

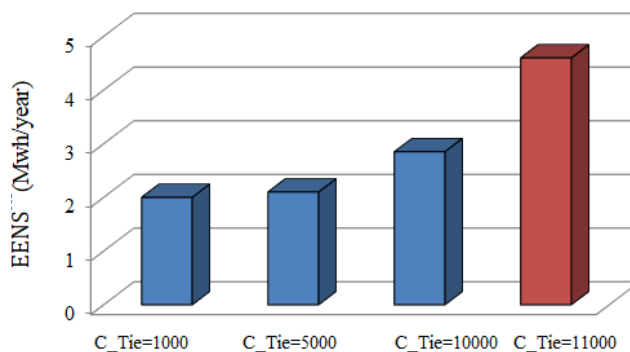
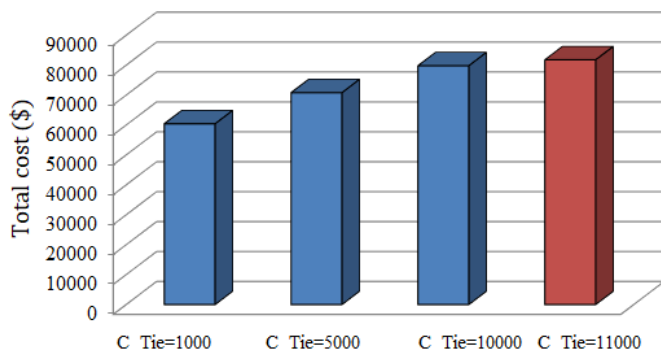


شکل ۱۳- مقایسه بین مقدار تابع هدف

مقایسه بین	هزینه کل (دلار)	طول خطوط تای لاین احداثی (کیلومتر)
هدف	۸۱۵۶۴/۲۵	۰
تابع	۶۰۲۹۱/۴۶	۳/۲۴۷
مقدار	۷۰۸۱۴/۲۳	۲/۱۴۷

شکل ۱۴- مقایسه بین مقدار تابع هدف EENS^{res} با تغییر هزینه احداث خطوط تای لاین

جدول ۲- مقایسه نتایج حاصل از روش پیشنهادی در سناریوهای سوم و چهارم



شکل ۱۵- مقایسه بین مقدار تابع هدف هزینه کل با تغییر هزینه احداث خطوط تای لاین

شکل ۱۴- مقایسه بین مقدار تابع هدف EENS^{res} با تغییر هزینه احداث خطوط تای لاین

بررسی شکل های ۱۳ تا ۱۵ نشان می دهد که افزایش هزینه احداث خطوط تای لاین به این معنی است که خروجی برنامه بهینه سازی منجر به ساخت هیچ تای لاینی در شبکه نمی شود (مانند هزینه ۱۱۰۰۰) یا منجر به ساخت تنها دو تای لاین (مانند هزینه ۵۰۰۰) می شود. بنابراین، با کاهش خطوط تای لاین، ممکن است یک جزیره (مانند هزینه ۵۰۰۰) یا همه جزیره ها (مانند هزینه ۱۱۰۰۰) برق دار نشوند، که منجر به افزایش مقادیر EENS^{res}، EENS^{rel} و تابع هزینه کل می شود. برای مثال، تابع هزینه کل در ازای هزینه احداث خطوط تای لاین ۱۰۰۰، ۵۰۰۰ و ۱۱۰۰۰ به ترتیب ۶۰۴۱۳ دلار، ۷۰۸۱۴ دلار و ۸۱۷۷۵ دلار

اطمینان، تاب‌آوری و احداث خطوط‌تای‌لاین است. روش بهینه‌سازی در نظر گرفته شده در این مطالعه یک الگوریتم ابتکاری مبتنی بر تکرار و نظریه گراف به منظور احداث بهینه خطوط‌تای‌لاین با توجه به تابع هدف هزینه کل است. در این راستا به منظور ارزیابی تاب‌آوری و قابلیت اطمینان شبکه، چهار سناریو با توجه به احتمال، شدت حادثه، هزینه‌های قابلیت اطمینان، تاب‌آوری و ساخت‌تای‌لاین تعریف شده است.

نتایج شبیه‌سازی نشان می‌دهد که افزایش هزینه ساخت خطوط‌تای‌لاین در مقایسه با تغییر احتمال و شدت حادثه تأثیر بسزایی در ارزیابی تاب‌آوری و قابلیت اطمینان شبکه دارد. به عنوان مثال، افزایش هزینه احداث خطوط‌تای‌لاین در سناریوی ۲ نسبت به سناریوی ۱ منجر به کاهش تعداد خطوط‌تای‌لاین احداثی می‌شود و در نتیجه میزان تاب‌آوری و قابلیت اطمینان کاهش و همچنین هزینه کل افزایش می‌یابد. اما کاهش شدت حادثه و افزایش احتمال وقوع حادثه در سناریوی ۳ نسبت به سناریوی ۱ تغییر قابل توجهی در هزینه کل و شاخص‌های تاب‌آوری و قابلیت اطمینان ایجاد نمی‌کند.

منابع

- weather events. *IEEE Transactions on Smart Grid*, 9(2), 1442-1451.
- Ma, S., Su, L., Wang, Z., Qiu, F., & Guo, G. (2018). Resilience enhancement of distribution grids against extreme weather events. *IEEE Transactions on power systems*, 33(5), 4842-4853.
- Manshadi, S. D., & Khodayar, M. E. (2015). Resilient operation of multiple energy carrier microgrids. *IEEE Transactions on Smart Grid*, 6(5), 2283-2292.
- Mousavizadeh, S., Haghifam, M.-R., & Shariatkhah, M.-H. (2018). A linear two-stage method for resiliency analysis in distribution systems considering renewable energy and demand response resources. *Applied energy*, 211, 443-460.
- Najafi, J., Peiravi, A., & Guerrero, J. M. (2018). Power distribution system improvement planning under hurricanes based on a new resilience index. *Sustainable cities and society*, 39, 592-604.
- Panteli, M., & Mancarella, P. (2015a). Influence of extreme weather and climate change on the resilience of power systems: Impacts and possible mitigation strategies. *Electric Power Systems Research*, 127, 259-270.
- Panteli, M., & Mancarella, P. (2015b). Operational resilience assessment of power systems under extreme weather and loading conditions. 2015 IEEE Power & Energy Society General Meeting, 1-5, Denver, USA.
- Panteli, M., Trakas, D. N., Mancarella, P., & Hatziargyriou, N. D. (2016). Boosting the power grid resilience to extreme weather events using defensive islanding. *IEEE Transactions on Smart Grid*, 7(6), 2913-2922.
- Poudel, S., & Dubey, A. (2018). Critical load restoration using distributed energy resources for resilient power distribution system. *IEEE Transactions on power systems*, 34(1), 52-63.
- Wang, S., Li, Z., Wu, L., Shahidehpour, M., & Li, Z. (2013). New metrics for assessing the reliability and economics of microgrids in distribution system. *IEEE Transactions on power systems*, 28(3), 2852-2861.

بدست آمده است. مقدار هزینه کل زمانی که هزینه احداث خطوط‌تای‌لاین ۱۱۰۰۰ باشد برابر است با مقدار اولیه نابع هزینه کل قبل از احداث خطوط‌تای‌لاین که نشان می‌دهد در این حالت احداث خطوط‌تای‌لاین بین جزیره برق دار و سایر جزایر مقرون به صرفه نیست، بنابراین هر سه جزیره آسیب دیده بدون برق باقی می‌مانند. همچنین مقدار $EENS^{rel}$ و $EENS^{res}$ در این حالت برابر با ۸۱/۵۳ و ۴/۱۶۷ مگاوات ساعت در سال است که برابر با مقادیر اولیه این توابع قبل از احداث خطوط‌تای‌لاین در شبکه است.

۷- نتیجه‌گیری

در این مطالعه، ایده مبتنی بر احداث بهینه خطوط‌تای‌لاین در شبکه به منظور بهبود تاب‌آوری و قابلیت اطمینان شبکه در صورت بروز حادثه احتمالی ارائه شده است. در همین راستا، پس از شناسایی نقاط حادثه خیز شبکه بر اساس مطالعات جغرافیایی، فرض می‌کنیم که یک حادثه با شدت و احتمال مشخص در بخش‌های شبکه با احتمال حادثه‌خیز بودن رخ دهد. در نتیجه با احداث خطوط‌تای‌لاین سعی می‌کنیم تا حد امکان بار از دست رفته ناشی از حادثه را بازیابی کنیم. تابع هدف پیشنهادی در این مطالعه ترکیبی از هزینه‌های قابلیت اطمینان، تاب‌آوری و احداث خطوط‌تای‌لاین است. (Attoh-Okine, N. O., Cooper, A. T., & Mensah, S. A. (2009). Formulation of resilience index of urban infrastructure using belief functions. *IEEE Systems Journal*, 3(2), 147-153.

Bajpai, P., Chanda, S., & Srivastava, A. K. (2016). A novel metric to quantify and enable resilient distribution system using graph theory and choquet integral. *IEEE Transactions on Smart Grid*, 9(4), 2918-2929.

Campbell, R. J., & Lowry, S. (2012). Weather-related power outages and electric system resiliency.

Chanda, S. & Srivastava, A. K. (2016). Defining and enabling resiliency of electric distribution systems with multiple microgrids. *IEEE Transactions on Smart Grid* 7 (6), 2859-2868

Chen, C., Wang, J., Qiu, F., & Zhao, D. (2015). Resilient distribution system by microgrids formation after natural disasters. *IEEE Transactions on Smart Grid*, 7(2), 958-966.

Gao, H., Chen, Y., Xu, Y., & Liu, C.-C. (2016). Resilience-oriented critical load restoration using microgrids in distribution systems. *IEEE Transactions on Smart Grid*, 7(6), 2837-2848.

Gautam, P., Piya, P., & Karki, R. (2020). Resilience assessment of distribution systems integrated with distributed energy resources. *IEEE Transactions on Sustainable Energy*, 12(1), 338-348.

Khodaei, A. (2014). Resiliency-oriented microgrid optimal scheduling. *IEEE Transactions on Smart Grid*, 5(4), 1584-1591.

Liu, X., Shahidehpour, M., Li, Z., Liu, X., Cao, Y., & Bie, Z. (2016). Microgrids for enhancing the power grid resilience in extreme conditions. *IEEE Transactions on Smart Grid*, 8(2), 589-597.

Lorca, A., & Sun, X. A. (2014). Adaptive robust optimization with dynamic uncertainty sets for multi-period economic dispatch under significant wind. *IEEE Transactions on power systems*, 30(4), 1702-1713.

Ma, S., Chen, B., & Wang, Z. (2016). Resilience enhancement strategy for distribution systems under extreme

- Wang, X., Li, Z., Shahidehpour, M., & Jiang, C. (2017). Robust line hardening strategies for improving the resilience of distribution systems with variable renewable resources. *IEEE Transactions on Sustainable Energy*, 10(1), 386-395.
- Wang, Y., Chen, C., Wang, J., & Baldick, R. (2015). Research on resilience of power systems under natural disasters—A review. *IEEE Transactions on power systems*, 31(2), 1604-1613.
- Yuan, C., Illindala, M. S., & Khalsa, A. S. (2016). Modified Viterbi algorithm based distribution system restoration strategy for grid resiliency. *IEEE Transactions on Power Delivery*, 32(1), 310-319.
- Yuan, W., Wang, J., Qiu, F., Chen, C., Kang, C., & Zeng, B. (2016). Robust optimization-based resilient distribution network planning against natural disasters. *IEEE Transactions on Smart Grid*, 7(6), 2817-2826.
- Zhang, B., Dehghanian, P., & Kezunovic, M. (2017). Optimal allocation of PV generation and battery storage for enhanced resilience. *IEEE Transactions on Smart Grid*, 10(1), 535-545.

پیوست

جدول ۳- فاصله بین باس‌های جزایر ۱ و ۴ (کیلومتر)

Fourth First	Node 1	Node 2	Node 3
Node 1	2.31	1.34	1.62
Node 2	2.29	1.10	1.71
Node 3	2.79	1.45	1.43
Node 4	2.76	1.73	2.35
Node 5	1.67	2.14	2.47
Node 6	1.85	2.14	1.02
Node 7	2.61	2.56	1.71
Node 8	2.85	2.18	1.48
Node 9	2.73	1.22	2.86
Node 10	2.00	2.28	2.53
Node 11	2.17	1.14	1.76
Node 12	2.85	1.73	2.37
Node 13	1.33	1.57	2.40
Node 14	1.75	2.48	2.18
Node 15	1.52	1.13	2.92
Node 16	2.66	2.51	2.56
Node 17	1.14	1.48	2.08
Node 18	1.56	1.46	1.19
Node 19	2.11	1.02	2.77
Node 20	2.24	1.26	1.51
Node 21	1.82	1.42	1.93
Node 22	1.52	1.43	1.66
Node 23	1.83	2.81	2.51
Node 24	1.76	1.56	2.61
Node 25	1.19	1.19	2.61
Node 26	1.26	2.57	2.75
Node 27	2.22	2.34	1.17
Node 28	2.31	2.23	2.34
Node 29	2.68	1.69	2.00
Node 30	2.00	2.38	1.67
Node 31	1.61	1.47	2.18

جدول ۴- فاصله بین باس‌های جزایر ۲ و ۳ (کیلومتر)

Second Third	Node1	Node 2	Node 3	Node 4	Node 5	Node 6	Node 7	Node 8	Node 9	Node 10
Node 1	1.83	1.79	1.80	1.01	2.61	1.84	1.68	1.86	1.55	1.08
Node 2	2.97	1.53	2.91	1.38	1.27	2.41	1.63	1.52	1.53	2.54
Node 3	1.97	1.16	1.67	2.56	2.14	1.94	1.76	1.38	2.49	2.38
Node 4	2.22	1.44	1.27	2.22	2.15	1.82	2.74	1.43	1.26	2.85
Node 5	1.02	1.97	2.39	2.58	1.03	2.98	2.06	1.99	2.61	1.12
Node 6	2.54	2.03	2.85	2.68	2.87	1.97	1.05	1.07	1.61	2.37
Node 7	2.48	2.68	1.98	2.37	2.23	1.23	1.50	1.75	1.69	2.45
Node 8	1.43	1.83	2.01	1.16	2.34	2.72	2.45	1.71	2.32	2.69

جدول ۵- فاصله بین باس‌های جزایر ۱ و ۲ (کیلومتر)

Second First	Node 1	Node 2	Node 3	Node 4	Node 5	Node 6	Node 7	Node 8	Node 9	Node 10
Node 1	1.19	2.15	2.65	1.91	2.54	2.55	1.64	1.23	2.70	2.15
Node 2	2.09	1.40	1.03	1.26	2.07	2.06	2.19	1.72	2.48	2.02
Node 3	2.71	2.92	1.95	2.28	1.14	1.18	1.42	1.61	2.32	1.29
Node 4	1.53	1.67	2.89	2.79	1.40	2.80	1.38	1.60	1.21	1.58
Node 5	2.55	1.30	1.92	1.85	1.02	2.74	1.42	2.12	2.67	2.00
Node 6	2.28	1.66	2.70	1.35	2.93	1.11	2.43	2.59	1.91	1.28
Node 7	2.45	1.23	2.07	1.59	2.66	2.28	1.51	1.94	2.30	1.81
Node 8	2.79	2.54	1.87	1.12	1.89	2.78	1.54	2.58	2.81	2.19
Node 9	2.54	2.59	1.05	1.12	2.98	1.70	1.96	1.84	1.22	2.62
Node 10	1.41	2.17	2.01	1.05	2.59	2.33	1.44	2.48	2.21	1.94
Node 11	1.09	1.16	2.75	2.10	1.98	1.91	1.71	1.72	1.03	2.35
Node 12	1.31	1.39	2.82	2.13	1.26	1.89	2.28	2.90	1.18	2.51
Node 13	2.44	2.55	1.57	1.61	1.42	1.03	2.50	2.50	2.81	1.36
Node 14	1.26	1.71	1.27	2.51	2.66	2.72	1.98	1.04	2.10	2.24
Node 15	1.44	2.68	1.00	2.34	1.65	2.88	2.23	2.51	2.29	2.54
Node 16	1.91	1.27	1.64	2.88	2.48	1.96	1.64	2.82	1.47	1.84
Node 17	1.93	2.40	2.06	1.97	1.32	2.14	1.60	1.70	2.24	1.88
Node 18	1.18	1.38	2.66	2.04	2.46	2.99	1.28	1.14	1.16	1.98
Node 19	2.01	1.79	2.35	2.58	1.11	1.81	2.69	2.71	2.29	1.43
Node 20	1.15	1.68	2.83	2.14	2.43	1.44	1.58	1.19	1.35	2.67
Node 21	1.33	2.85	2.51	2.53	1.24	2.73	2.82	2.10	2.24	2.00
Node 22	2.50	2.68	1.34	2.84	2.97	2.38	1.23	2.83	2.94	1.21
Node 23	1.67	2.26	2.93	1.42	2.19	1.34	2.23	2.04	2.34	1.73
Node 24	1.61	2.73	1.70	2.22	1.54	1.02	1.57	1.10	1.66	2.64
Node 25	2.64	1.43	2.20	1.93	1.86	1.34	2.02	1.88	1.92	1.25
Node 26	2.96	1.13	2.46	2.23	2.86	1.41	2.08	2.38	1.05	2.30
Node 27	2.94	2.36	2.74	1.41	2.02	2.80	1.10	1.52	2.05	2.47
Node 28	2.15	2.07	1.67	2.36	1.13	2.42	1.87	2.79	2.98	2.42
Node 29	1.47	2.03	1.93	1.03	2.32	1.26	1.44	1.92	2.45	1.21
Node 30	1.58	1.51	1.33	1.45	1.90	1.85	2.84	1.46	1.79	2.92
Node 31	2.35	2.71	1.93	2.83	1.29	2.32	2.38	1.39	2.18	1.85

جدول ۶- فاصله بین باس‌های جزایر ۲ و ۴ (کیلومتر)

Second	Node1	Node 2	Node 3	Node 4	Node 5	Node 6	Node 7	Node 8	Node 9	Node 10
--------	-------	--------	--------	--------	--------	--------	--------	--------	--------	---------

Fourth										
Node 1	1.35	1.77	1.64	1.79	2.56	1.10	2.23	2.51	2.29	1.46
Node 2	1.12	1.03	2.91	1.56	1.89	2.06	2.86	1.65	2.02	2.97
Node 3	1.30	2.93	1.06	1.72	1.11	2.53	2.56	2.04	2.32	1.17

جدول ۷- فاصله بین باس‌های جزایر ۳ و ۴ (کیلومتر)

Third Fourth	Node 1	Node 2	Node 3	Node 4	Node 5	Node 6	Node 7	Node 8
Node 1	1.35	1.77	1.64	1.79	2.56	1.10	2.23	2.51
Node 2	1.12	1.03	2.91	1.56	1.89	2.06	2.86	1.65
Node 3	1.30	2.93	1.06	1.72	1.11	2.53	2.56	2.04

جدول ۸- فاصله بین باس‌های جزایر ۱ و ۳ (کیلومتر)

Second First	Node 1	Node 2	Node 3	Node 4	Node 5	Node 6	Node 7	Node 8
Node 1	1.70	2.48	1.76	2.70	2.63	2.77	2.37	1.60
Node 2	1.41	1.18	1.51	1.99	1.70	2.84	2.50	1.60
Node 3	1.52	1.94	1.04	1.23	1.04	2.56	1.78	2.65
Node 4	1.20	1.59	1.59	2.62	1.68	1.48	2.12	1.27
Node 5	1.30	1.81	1.48	2.33	1.77	2.17	2.46	2.63
Node 6	1.64	1.86	1.41	1.76	1.19	1.40	2.22	2.72
Node 7	2.19	2.74	1.70	2.44	2.94	1.25	2.16	2.11
Node 8	1.31	2.41	2.07	1.84	1.38	2.38	1.14	1.04
Node 9	1.13	1.03	1.25	1.11	1.33	2.82	1.75	2.02
Node 10	1.02	1.05	1.39	2.17	2.01	2.50	1.07	2.43
Node 11	2.55	1.47	1.98	1.60	2.02	2.65	1.81	2.40
Node 12	2.36	2.20	1.81	1.82	1.10	1.45	2.32	2.79
Node 13	1.24	2.85	2.47	2.17	1.73	1.77	2.15	2.40
Node 14	2.44	1.67	1.60	1.63	2.17	1.84	2.95	2.87
Node 15	1.32	1.89	2.61	1.29	2.99	2.87	1.88	1.02
Node 16	1.24	1.20	2.83	2.98	1.87	1.21	2.56	2.64
Node 17	2.36	2.43	2.53	1.21	2.39	2.06	2.14	1.07
Node 18	1.29	2.44	1.67	1.67	1.03	2.24	1.04	2.03
Node 19	1.12	2.56	2.44	1.08	1.31	1.56	2.02	2.31
Node 20	1.27	2.88	1.07	2.84	2.80	1.40	1.82	2.51
Node 21	1.03	1.10	2.23	1.75	1.09	1.82	1.44	1.56
Node 22	1.38	2.60	1.22	2.98	1.06	1.73	1.46	2.21
Node 23	1.14	1.93	1.10	2.09	2.15	1.32	1.88	2.78
Node 24	1.08	1.56	1.11	2.13	1.68	2.79	2.84	2.29
Node 25	1.62	1.09	1.05	1.38	1.44	1.88	1.64	2.57
Node 26	2.03	2.58	2.91	1.43	2.81	2.34	1.57	1.98
Node 27	1.79	2.80	2.05	1.97	2.37	1.42	1.73	1.81
Node 28	2.99	2.55	2.51	1.44	1.74	1.94	2.00	2.75
Node 29	1.88	2.67	2.18	2.87	1.80	1.10	2.63	2.42
Node 30	1.30	1.69	2.48	1.56	1.41	1.99	1.47	2.65
Node 31	2.56	1.38	1.64	2.91	1.48	1.54	1.04	1.02